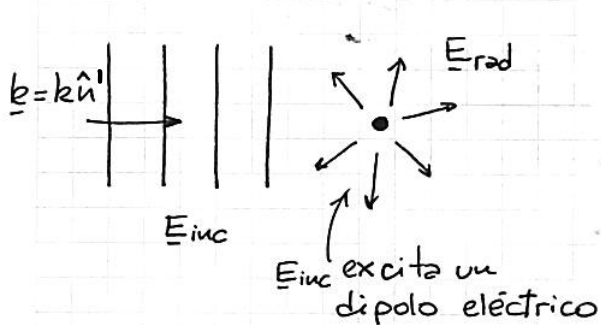


Scattering de Rayleigh

Consideremos una onda plana monocromática que incide sobre una molécula:



$$\Rightarrow \begin{cases} E_{inc} = E_0 e^{i(k\hat{n}\cdot r - \omega t)} \\ E_{rad} = k^2 \frac{e^{i(kr - \omega t)}}{r} (\hat{n} \times p) \times \hat{n} \\ B_{rad} = k^2 \frac{e^{i(kr - \omega t)}}{r} (\hat{n} \times p) \end{cases}$$

Notar que E_{rad} , B_{rad} se propagan en todas las direcciones.

La sección eficaz de scattering se define como

$$\frac{d\sigma}{d\Omega} = \frac{\frac{dP_{rad}}{d\Omega}}{\frac{dP_{inc}}{d\Omega}} = \frac{\frac{c\epsilon^2}{8\pi} \frac{k^4}{r^2} |(\hat{n} \times p) \times \hat{n}|^2}{\frac{c}{8\pi} |E_0|^2} = \frac{k^4}{\epsilon_0^2} |(\hat{n} \times p) \times \hat{n}|^2$$

Ejemplo: Esfera dieléctrica en un campo E



$$p = \left(\frac{\epsilon - 1}{\epsilon + 2} \right) a^3 E_0$$

$$\text{Si } E = E_0 e^{i\omega t} \Rightarrow p = p_0 e^{i\omega t}$$

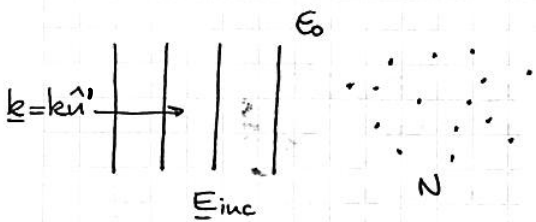
$$\gamma \quad \frac{d\sigma}{d\Omega} = \frac{k^4 a^6}{\epsilon_0^2} \left(\frac{\epsilon - 1}{\epsilon + 2} \right)^2 |(\hat{n} \times E_0) \times \hat{n}|^2$$

Definiendo $E_0 = E_0 \hat{e}$ ← dir. de polarización (puede ser complejo)

$$\Rightarrow \boxed{\frac{d\sigma}{d\Omega} = k^4 a^6 \left(\frac{\epsilon - 1}{\epsilon + 2} \right)^2 |(\hat{n} \times \hat{e}) \times \hat{n}|^2}$$

← sección eficaz de scattering de una esfera dieléctrica

Consideremos ahora el problema más general en el que tenemos N moléculas en un medio con permitividad eléctrica ϵ_0 .



Las moléculas adquieren momento dipolar $\underline{p} = \chi \underline{E}$

$$\Rightarrow \underline{D} = \underline{E} + 4\pi \underline{P} = \underbrace{(1 + 4\pi\chi)}_{\epsilon = \epsilon_0 + \delta\epsilon} \underline{E}$$

Podemos pensar que en las moléculas tenemos

$$\epsilon = \epsilon_0 + \delta\epsilon \quad \text{con} \quad \delta\epsilon = 4\pi\chi \sum_{i=1}^N \delta(\underline{r} - \underline{r}_i)$$

De las ec. de Maxwell sin fuentes

$$\nabla \times \underline{E} = -\frac{1}{c} \frac{\partial \underline{B}}{\partial t} \Rightarrow \nabla \times \nabla \times \underline{E} = -\frac{1}{c} \frac{\partial}{\partial t} \nabla \times \underline{B}$$

$$\text{y de} \quad \nabla \times \underline{H} = \nabla \times \underline{B} = \frac{1}{c} \frac{\partial \underline{D}}{\partial t} \Rightarrow \nabla \times \nabla \times \underline{E} \epsilon_0 = -\frac{\epsilon_0}{c^2} \frac{\partial^2 \underline{D}}{\partial t^2} \quad (1)$$

$$\text{De} \quad \nabla \cdot \underline{D} = 0 \Rightarrow \nabla^2 \underline{D} = -\nabla \times \nabla \times \underline{D} \quad (2)$$

Sumando (1) y (2)

$$\boxed{\left(\nabla^2 - \frac{\epsilon_0}{c^2} \frac{\partial^2}{\partial t^2} \right) \underline{D} = -\nabla \times \nabla \times (\underline{D} - \epsilon_0 \underline{E})}$$

↙ fuente

Tenemos una ec de ondas inhomogéneas.

Para $\epsilon_0 = 1$ $\underline{D} - \underline{E} = 4\pi \underline{P}$
 \Rightarrow la fuente es el scattering por los dipolos inducidos

La solución es

$$\underline{D} = \underbrace{\underline{D}^{(0)}}_{\text{sol. homogénea}} + \frac{e^{-i\omega t}}{4\pi} \int \frac{e^{ik|\underline{r}-\underline{r}'|}}{|\underline{r}-\underline{r}'|} \nabla \times \nabla \times (\underline{D} - \epsilon_0 \underline{E}) d^3 r'$$

Lejos de la región de scattering, podemos aproximar

$$1/|\underline{r}-\underline{r}'| \approx \frac{1}{r} \quad \text{y} \quad k|\underline{r}-\underline{r}'| \approx kr - k\hat{n} \cdot \underline{r}'$$

$$\nabla_x = ik_x = ik\hat{n}_x$$

$$\Rightarrow \underline{D} = \underline{D}^{(0)} + \frac{k^2}{4\pi r} \int e^{-ik\hat{n}\cdot r'} \hat{n} \times (\underline{D} - \epsilon_0 \underline{E}) \times \hat{n} d^3 r' \cdot e^{i(kr - \omega t)}$$

onda plana incidente
(sol. homogenea)

scattering
(comparar con $E_{rad} = \frac{k^2 e^{i(kr - \omega t)}}{r} (\hat{n} \times p) \times \hat{n}$)

Ademäs, $\underline{D} = (\epsilon_0 + \delta\epsilon) \underline{E}$ con $\delta\epsilon \ll \epsilon_0$.

$$\Rightarrow \underline{D} - \epsilon_0 \underline{E} = \delta\epsilon \underline{E} = \frac{\delta\epsilon}{\epsilon_0 + \delta\epsilon} \underline{D} \approx \frac{\delta\epsilon}{\epsilon_0} \underline{D}^{(0)}$$

↑
a orden mas bajo en $\delta\epsilon$

Veamos solo la parte de radiación (scattering)

$$\underline{D} = \underline{D}^{(0)} + \underline{D}_{rad}$$

amplitud de la onda plana

con

$$\underline{D}_{rad} \approx \frac{k^2 e^{i(kr - \omega t)}}{4\pi r} \int e^{-ik\hat{n}\cdot r'} \frac{\delta\epsilon}{\epsilon_0} (\hat{n} \times \underline{D}^{(0)}(r')) \times \hat{n} d^3 r' =$$

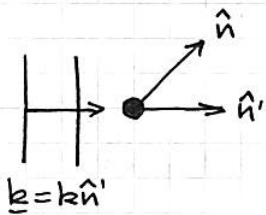
$$= \frac{k^2 e^{i(kr - \omega t)}}{4\pi r} (\hat{n} \times \underline{E}_0) \times \hat{n} \int \delta\epsilon(r') e^{ik\delta\hat{n}\cdot r'} d^3 r'$$

↓
 $\delta\hat{n} = \hat{n}' - \hat{n}$

usando

$$\begin{cases} \underline{D}_{inc}(r) = \underline{D}^{(0)} = \underline{D}_0 e^{ik\hat{n}'\cdot r} & \underline{D}_{inc}(r, t) = \underline{D}_{inc}(r) e^{-i\omega t} \\ \underline{E}_{inc}(r) = \underline{E}_0 e^{ik\hat{n}'\cdot r} & \underline{D}_0 = \epsilon_0 \underline{E}_0 \end{cases} \quad \gamma$$

Notar que $\delta\hat{n} = \hat{n}' - \hat{n}$ es la dif. entre el versor con la direcci3n de propagaci3n de la onda plana incidente, y el versor con la dir. de scattering.



Usando $\delta\epsilon(r') = 4\pi \chi \sum_{i=1}^N \delta(r' - r_i)$
y reemplazando en $\frac{d\sigma}{d\Omega}$

$$\Rightarrow \frac{d\sigma}{d\Omega} = \frac{k^4}{(4\pi)^2} |(\hat{n} \times \hat{e}) \times \hat{n}|^2 (4\pi)^2 |\chi|^2 \left| \sum_{i=1}^N \int e^{-ik\delta\hat{n}\cdot r'} \delta(r' - r_i) d^3 r' \right|^2 =$$

$$= k^4 |\chi|^2 |(\hat{n} \times \hat{e}) \times \hat{n}|^2 \sum_i e^{-ik \delta \hat{n} \cdot \mathbf{r}_i} =$$

$$= k^4 |\chi|^2 |(\hat{n} \times \hat{e}) \times \hat{n}|^2 \sum_{i,j=1}^N e^{ik \delta \hat{n} \cdot (\mathbf{r}_i - \mathbf{r}_j)}$$

↑ usando $|A|^2 = A \cdot A^*$ \sum_N

Para moléculas distribuidas al azar, los términos con $i \neq j$ dan una contribución despreciable.

(Comparar con una red $\mathbf{r}_i = 2\pi i$
 $\Rightarrow \mathbf{r}_i - \mathbf{r}_j = 2\pi \mathbf{m}!$)

$$\Rightarrow \boxed{\frac{d\sigma}{d\Omega} = N k^4 |\chi|^2 |(\hat{n} \times \hat{e}) \times \hat{n}|^2}$$

Para un gas diluido con

N moléculas $\epsilon = 1 + 4\pi N \chi$ Susceptibilidad total

$$\Rightarrow \chi = \frac{\epsilon - 1}{4\pi N}$$

y $\frac{d\sigma}{d\Omega} = \frac{k^4}{16\pi^2 N} (\epsilon - 1)^2 |(\hat{n} \times \hat{e}) \times \hat{n}|^2$

Integrando sobre el ángulo sólido:

$$\boxed{\sigma = \frac{k^4}{6\pi N} (\epsilon - 1)^2}$$

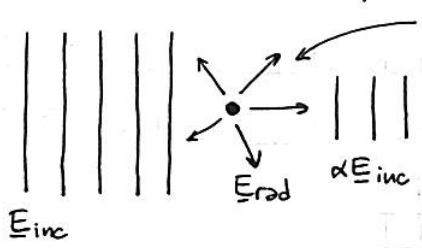
Usando $n = \sqrt{\epsilon \mu} \approx \sqrt{\epsilon}$

$$\Rightarrow \epsilon \approx n^2$$

y para $n - 1 \ll 1$ $(\epsilon - 1)^2 = (n^2 - 1)^2 = (n - 1)^2 (n + 1)^2 \approx 4(n - 1)^2$

$$\Rightarrow \boxed{\sigma \approx \frac{2k^4}{3\pi N} (n - 1)^2}$$

Coefficiente de absorción



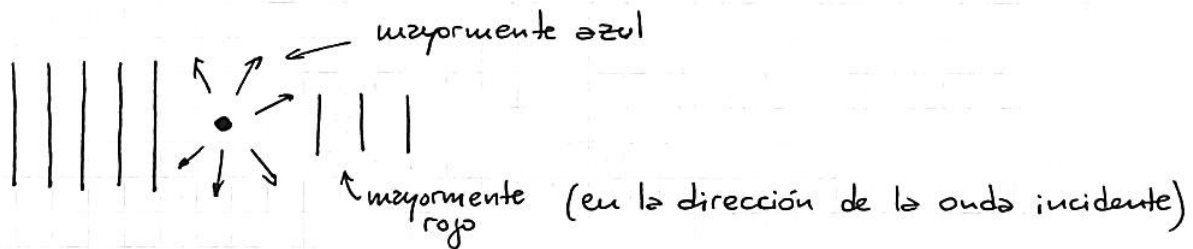
σ me dice que fracción de la potencia en la onda incidente es absorbida y re-emitida ^(dispersada) en todas direcciones (scattering).

$\sigma \propto k^4$: en el visible, el rojo es absorbido menos

y el violeta mas. Esto explica:

- + el cielo azul
- + el sol (y la luna) rojiza al amanecer o anochecer

- + por qué el sol se vuelve más rojo luego de erupciones volcánicas.
- + por qué no hay que tomar sol al mediodía.
- + las diferencias en la radiación recibida en verano e invierno.



La atenuación de la intensidad de la onda incidente es

$$\frac{dI}{dx} = -\sigma I$$

Deberíamos considerar $\sigma = \sigma(x)$ (pues en la atmósfera $N = N(x)$; decae exponencialmente para una atmósfera isotérmica). Pero consideremos N constante (\approx el valor medio). Luego

$$\frac{dI}{I} = -\sigma dx$$

$$\Rightarrow \boxed{I(x) = I_0 e^{-\sigma x}}$$

Tomando

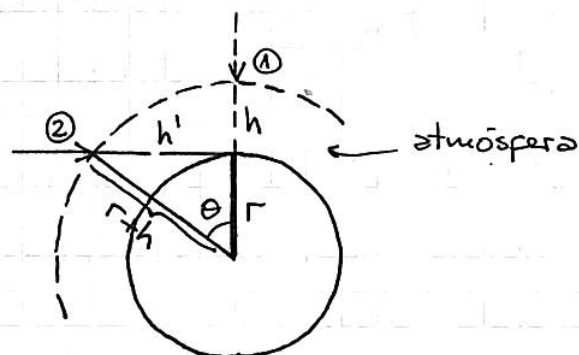
$$\left\{ \begin{array}{l} n-1 \approx 2.8 \cdot 10^{-4} \\ N \approx 2.7 \cdot 10^{25} \text{ 1/m}^3 \\ k^4 = \frac{(2\pi)^4}{\lambda^4} \end{array} \right.$$

$$\Rightarrow \sigma = \frac{2k^4}{3\pi N} (n-1)^2 \approx \frac{9.6 \cdot 10^{-31} \text{ m}^3}{\lambda^4}$$

Para el rojo $\lambda = 6.5 \cdot 10^{-7} \text{ m} \Rightarrow \sigma_{\text{rojo}} \approx 5.4 \cdot 10^{-6} \text{ 1/m}$

Para el violeta $\lambda = 4.1 \cdot 10^{-7} \text{ m} \Rightarrow \sigma_{\text{vio}} \approx 3.4 \cdot 10^{-5} \text{ 1/m}$

Tenemos dos casos:



Consideremos solo la atenuación por la tropósfera ($h \approx 15 \text{ km}$) en la aproximación de N uniforme:

Caso ①: para el rojo $\frac{I}{I_0} = e^{-\sigma_{\text{rojo}} h} \approx 0.92$

para el violeta $\frac{I}{I_0} = e^{-\sigma_{\text{vio}} h} \approx 0.60$

Caso ②: Calculemos h' . $r \approx 6300 \text{ km}$

$$\cos \theta = \frac{r}{r+h} = \frac{6300}{6315} \approx 1 - \frac{\theta^2}{2} \Rightarrow \theta \approx \sqrt{2 \left(1 - \frac{6300}{6315}\right)} \approx 0.06$$

$$h' = (r+h) \sin \theta \approx (r+h) \theta \approx 435 \text{ km}$$

$$\Rightarrow \text{para el rojo } \frac{I}{I_0} = e^{-\sigma_{\text{rojo}} h'} \approx 0.095$$

$$\text{para el violeta } \frac{I}{I_0} = e^{-\sigma_{\text{vio}} h'} \approx 3.7 \cdot 10^{-7}$$

Notar el corrimiento al rojo en el amanecer y atardecer.